



РОСНЕФТЬ

**Анализ масштабируемости
параллельной реализации
сеточно-характеристического
метода для решения задач
распространения упругих
волн**

Саидбаталов Д.Р.^{1,2}, Газизов Р.К.^{2,3}

¹Институт математики им. С.Л. Соболева СО РАН

²ООО «РН-БашНИПНефть»

³Уфимский университет науки и технологий

**Международная конференция «Суперкомпьютерные дни в России»,
г. Москва, 25–26 сентября 2023**

АКТУАЛЬНОСТЬ И НОВИЗНА РАБОТЫ

Актуальность



Расчет волновых полей необходим при решении прямых и обратных задач сейсморазведки:

- **Полноволновая инверсия (FWI);**
- **Волновое моделирование**, как самостоятельный инструмент.



В рамках данных процедур необходимо проведение крупномасштабных вычислений с высокой точностью и скоростью расчетов.

Новизна



Предложены и реализованы **параллельные алгоритмы сеточно-характеристического численного метода с поглощающими граничными условиями** в формулировке **идеально согласованных слоев (PML)**.

ЦЕЛЬ И ОСНОВНЫЕ ЗАДАЧИ РАБОТЫ

Цель



Цель работы – **исследовать сильную и слабую масштабируемость** параллельной реализации сеточно-характеристического метода для решения задач распространения упругих волн в неоднородных изотропных средах.

Задачи



- Реализовать **сеточно-характеристический численный метод** решения для системы дифференциальных уравнений, описывающих распространение упругих волн **в неоднородной изотропной сплошной среде** в трехмерной постановке;
- Разработать и реализовать алгоритм распараллеливания с использованием **технологии MPI** для систем с распределенной памятью, **технологии OpenMP** для систем с общей памятью и алгоритм с **совместным использованием технологий MPI и OpenMP**;
- Оценить **эффективность распараллеливания, слабую и сильную масштабируемость** предложенных алгоритмов.

ПОСТАНОВКА ЗАДАЧИ

- Моделирование сейсмических волновых полей основано на численном решении системы уравнений динамической теории упругости.
- Рассматривается **система уравнений динамической теории упругости**, записанная **в терминах скоростей и напряжений**, описывающих распространение упругих волн в сплошной неоднородной изотропной среде в трехмерном случае:

$$\frac{\partial u_i}{\partial t} - \frac{1}{\rho} \sum_{j=1}^3 \frac{\partial \sigma_{ij}}{\partial x_j} - \frac{1}{\rho} f_i = 0, \quad i = 1, 2, 3,$$

— ■ **Уравнения движения среды**

$$\frac{\partial \sigma_{ij}}{\partial t} - \lambda \sum_{m=1}^3 \frac{\partial u_m}{\partial x_m} \delta_{ij} - \mu \left(\frac{\partial u_i}{\partial x_j} + \frac{\partial u_j}{\partial x_i} \right) = 0, \quad i, j = 1, 2, 3, j \geq i,$$

— ■ **Реологические соотношения**

с заданными начальными условиями:

$$\begin{aligned} u_i \Big|_{t=0} &= 0, \quad i = 1, 2, 3, \\ \sigma_{ij} \Big|_{t=0} &= 0, \quad i, j = 1, 2, 3, j \geq i, \end{aligned}$$

и граничными условиями на поверхности $z=0$:

$$\sigma_{zz} \Big|_{z=0} = \sigma_{zx} \Big|_{z=0} = \sigma_{yz} \Big|_{z=0} = 0,$$

где $\vec{u} = (u_x, u_y, u_z)^T$ – вектор скоростей смещений, σ_{ij} – компоненты тензора напряжений Коши, ρ – массовая плотность, λ и μ – параметры Ламе, связанные со скоростями продольной и поперечной волн по формулам:

$$v_p = \sqrt{\frac{\lambda + 2\mu}{\rho}}, \quad v_s = \sqrt{\frac{\mu}{\rho}}.$$

Правые части в системе уравнений f_x , f_y и f_z – компоненты вектора внешних массовых сил.

РАСЩЕПЛЕНИЕ ПО ПРОСТРАНСТВУ

Матричная (недивергентная) форма записи системы:

$$\frac{\partial W}{\partial t} + \sum_{i=1}^3 A_i \frac{\partial W}{\partial x_i} = F,$$

где $W = (u_x \ u_y \ u_z \ \sigma_{xx} \ \sigma_{yy} \ \sigma_{zz} \ \sigma_{xy} \ \sigma_{yz} \ \sigma_{zx})^T$ – вектор искоемых функций,

$F = \left(\frac{f_x}{\rho} \ \frac{f_y}{\rho} \ \frac{f_z}{\rho} \ g_{xx} \ g_{yy} \ g_{zz} \ g_{xy} \ g_{yz} \ g_{zx} \right)^T$ – источник сейсмических волн.

Расщепление по пространственным координатам:

$$\frac{\partial W}{\partial t} + A_1 \frac{\partial W}{\partial x} = 0, n\tau < t \leq \left(n + \frac{1}{3}\right)\tau,$$

$$\frac{\partial W}{\partial t} + A_2 \frac{\partial W}{\partial y} = 0, \left(n + \frac{1}{3}\right)\tau < t \leq \left(n + \frac{2}{3}\right)\tau,$$

$$\frac{\partial W}{\partial t} + A_3 \frac{\partial W}{\partial z} = 0, \left(n + \frac{2}{3}\right)\tau < t \leq (n + 1)\tau,$$

$$\frac{\partial W}{\partial t} = F, n\tau < t \leq (n + 1)\tau.$$

Расщепление Странга: меняя порядок шагов по направлениям x, y и z при вычислении, можно сохранить второй порядок аппроксимации, например, циклически в следующем порядке: xuz, uxz, zxy, xzy, yzx, zyx.

СЕТОЧНО-ХАРАКТЕРИСТИЧЕСКИЙ МЕТОД

- Поскольку система уравнений гиперболического типа, то **матрицы A_i диагонализуемы**.
- Так как рассматривается **изотропная среда**, матрицы имеют **одинаковый набор собственных значений**.

С заменой переменных

$$S_i = \Omega_i^{-1}W,$$

где

$$\Omega_i^{-1}A_i\Omega_i = \Lambda = \text{diag}\{\lambda_k\}, i = 1,2,3, \\ \{\lambda_k\} = (-v_p, -v_s, -v_s, 0, 0, 0, v_s, v_s, v_p),$$

переходим к решению в инвариантах Римана:

$$\frac{\partial S_1}{\partial t} + \Lambda \frac{\partial S_1}{\partial x_1} = 0, \quad S_1 = \Omega_1^{-1}W, \quad n\tau < t \leq \left(n + \frac{1}{3}\right)\tau,$$

$$\frac{\partial S_2}{\partial t} + \Lambda \frac{\partial S_2}{\partial x_2} = 0, \quad S_2 = \Omega_2^{-1}W,$$

$$\left(n + \frac{1}{3}\right)\tau < t \leq \left(n + \frac{2}{3}\right)\tau,$$

$$\frac{\partial S_3}{\partial t} + \Lambda \frac{\partial S_3}{\partial x_3} = 0, \quad S_3 = \Omega_3^{-1}W,$$

$$\left(n + \frac{2}{3}\right)\tau < t \leq (n + 1)\tau.$$

Для модельного **уравнения переноса**

$$u_t + \lambda u_x = 0, \lambda = \text{const} > 0,$$

строится **однопараметрическое семейство** разностных схем второго-третьего порядка аппроксимации:

$$u_m^{n+1} = u_m^n + \frac{\sigma}{2}(\Delta_0 + \Delta_1) + \frac{\sigma^2}{2}(\Delta_0 - \Delta_1) + \alpha^0(\Delta_{-1} - 2\Delta_0 + \Delta_1),$$

где $\Delta_1 = u_m^n - u_{m+1}^n$, $\Delta_0 = u_{m-1}^n - u_m^n$ и $\Delta_{-1} = u_{m-2}^n - u_{m-1}^n$.

Параметр α^0 выбирается из следующего **условия монотонности**:

$$0 \leq w = \frac{\sigma(1 + \delta_1)}{2} + \frac{\sigma^2(1 - \delta_1)}{2} + \alpha^0(\delta_{-1} - 2 + \delta_1) \leq 1,$$

где $\delta_{-1} = \Delta_{-1}/\Delta_0$, $\delta_1 = \Delta_1/\Delta_0$, $\Delta_0 \neq 0$, $\sigma = \lambda\tau/h < 1$. Случай $\Delta_0 = 0$ приводит к тривиальному решению $u_m^{n+1} = u_m^n = u_{m-1}^n$.

- $\alpha^0 = 0$ – схема Лакса-Вендорфа
- $\alpha^0 = \sigma(\sigma - 1)/2$ – схема Бима-Уорминга
- $\alpha^0 = \sigma(\sigma^2 - 1)/6$ – схема третьего порядка аппроксимации – схема Русанова.

ПОГЛОЩАЮЩИЕ ГРАНИЧНЫЕ УСЛОВИЯ

Для задания неотражающих граничных условий в данной работе используется **PML (Perfectly Matched Layers)** – область, в которой происходит затухание волновых возмущений.

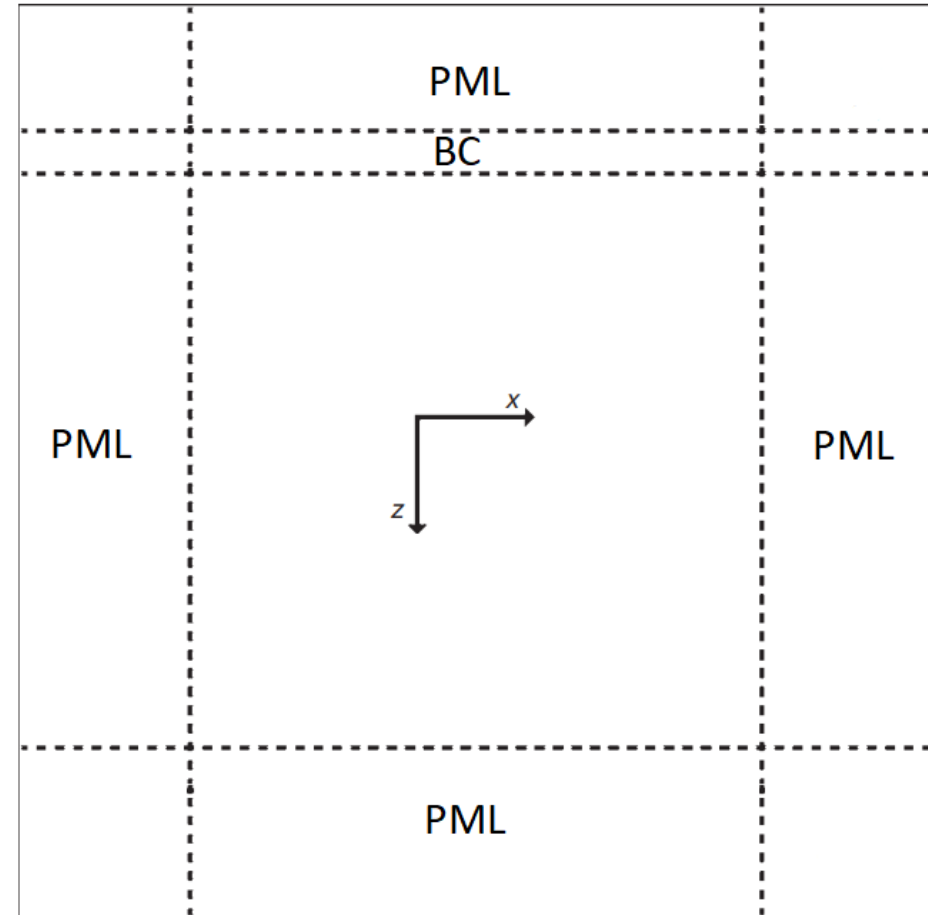
Система уравнений динамической теории упругости в инвариантах Римана для PML-области:

$$\left(\frac{\partial}{\partial t} + d(x_1)\right) S_1 + \Lambda \frac{\partial S_1}{\partial x_1} = 0,$$

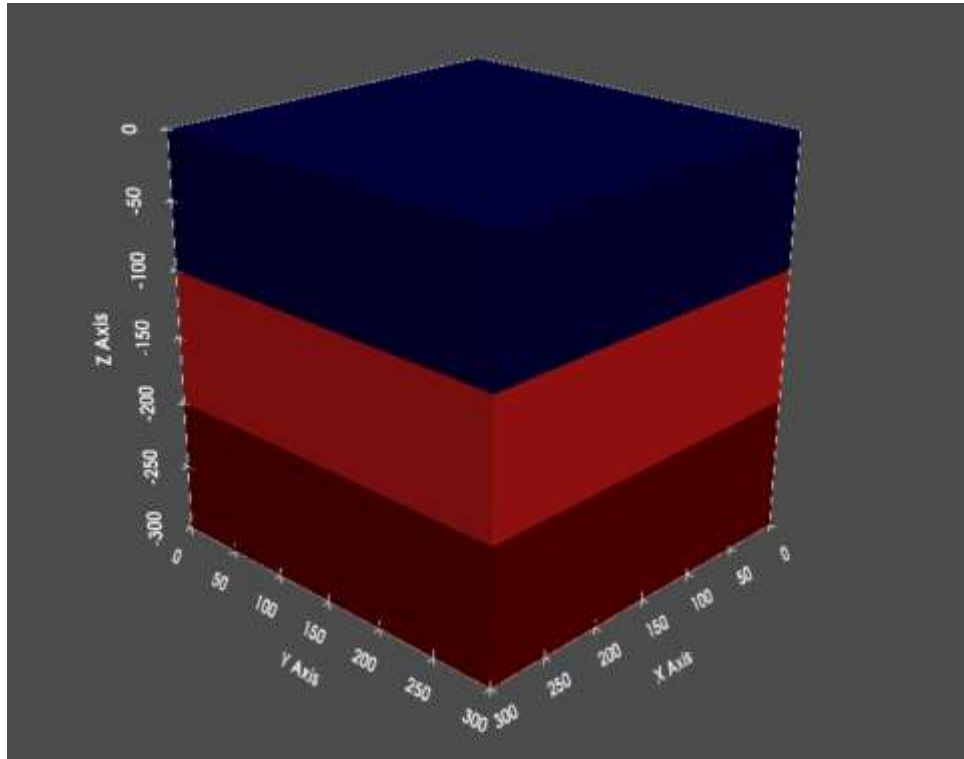
$$\left(\frac{\partial}{\partial t} + d(x_2)\right) S_2 + \Lambda \frac{\partial S_2}{\partial x_2} = 0,$$

$$\left(\frac{\partial}{\partial t} + d(x_3)\right) S_3 + \Lambda \frac{\partial S_3}{\partial x_3} = 0,$$

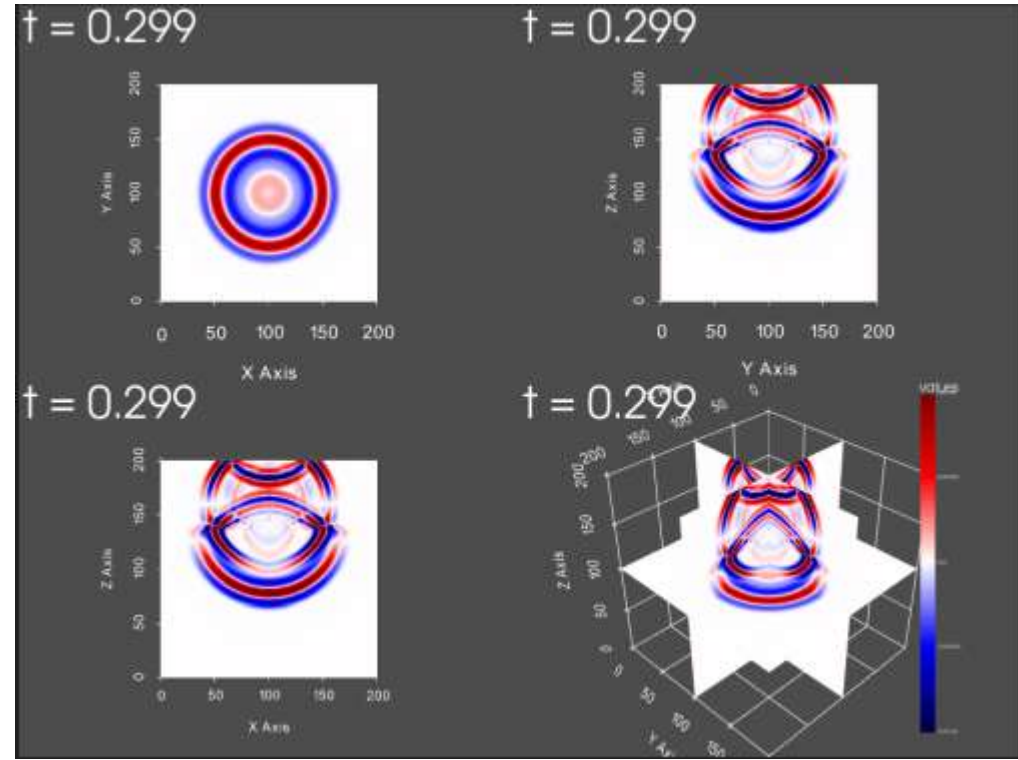
где $d(s)$ – демпфирующая функция, $d(s) = \frac{2c_p}{L} \log\left(\frac{1}{R}\right) \left(\frac{s}{L}\right)^4$, L – длина PML – области, R – коэффициент затухания.



ТЕСТОВЫЕ РАСЧЕТЫ



СЛОЙ	v_p	v_s	ρ
1	6,4	3,64	5,4
2	11,8	6,84	5,7
3	13,9	8,06	5,62



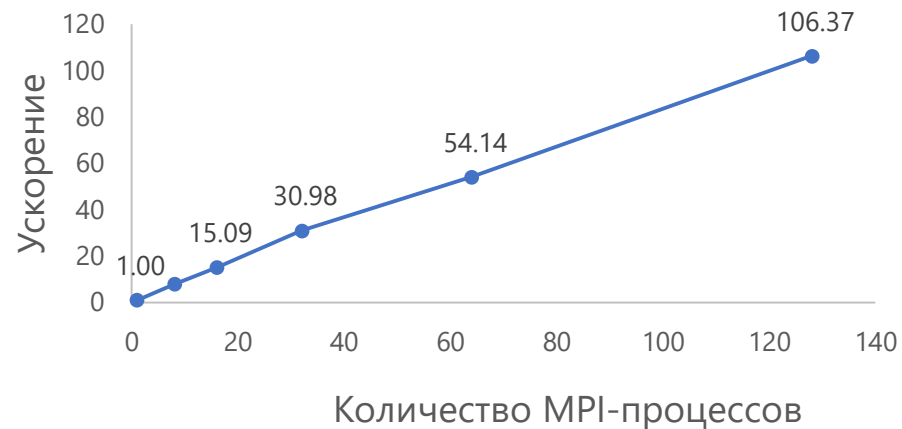
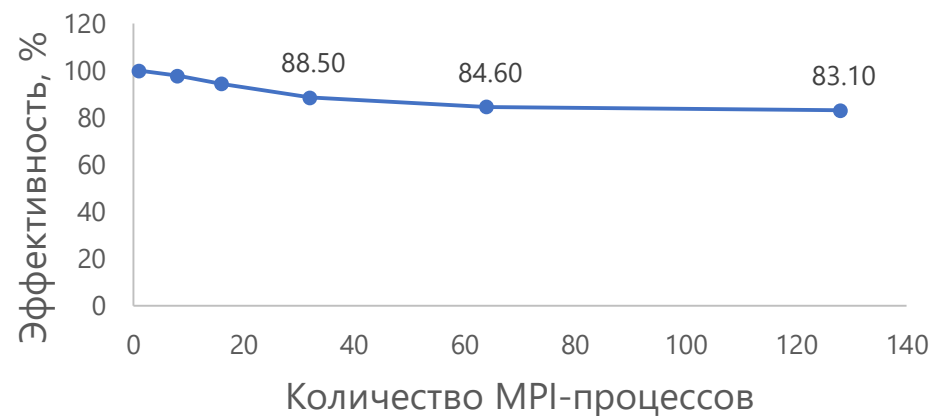
Волновое поле в момент времени $t=0.299$ - компонента скорости u_z

- В качестве источника сейсмических волн используется точечный **импульс Рикера с частотой 30 Гц**, действующий на главные компоненты тензора напряжений Коши.

ПРОГРАММНАЯ РЕАЛИЗАЦИЯ

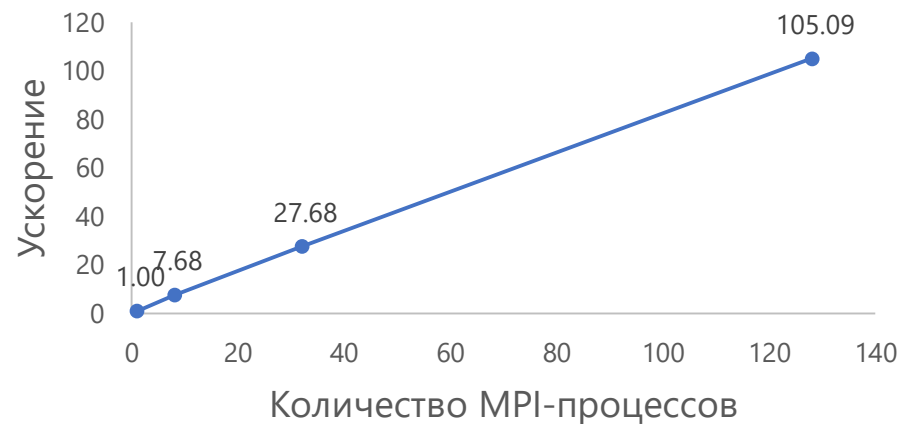
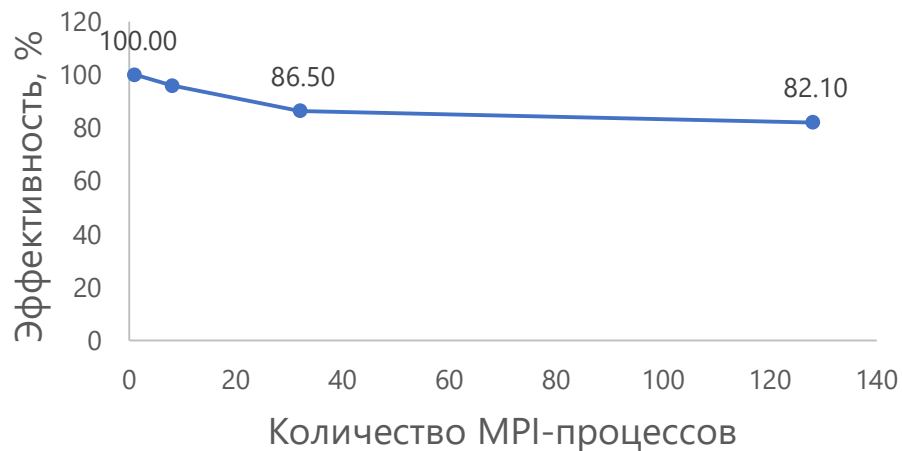
- Три реализации: параллельный **алгоритм с использованием технологии OpenMP** для систем с общей памятью; параллельный **алгоритм с использованием технологии MPI** для систем с распределенной памятью; параллельный **алгоритм с совместным использованием технологий MPI и OpenMP**.
- Программная реализация скомпилирована при помощи компилятора Intel ICPC в единый исполняемый файл.
- При разработке использовались только стандартные библиотеки **C/C++**, что дает возможность компиляции модуля в **ОС Linux** и **MS Windows** любым компилятором, поддерживаемым **стандарт языка C++17+**, **стандарт OpenMP 3.0+** и **стандарт MPI 2.0+**.
- Модуль не имеет графического пользовательского интерфейса, все требуемые параметры передаются модулю через текстовый файл, имеющий строго заданную структуру.
- Расчеты производились на кластере ССКЦ НКС-1П на вычислительных узлах, оснащенных двумя 16 ядерными процессорами Intel Xeon E5-2697v4 2.6 GHz с 32 потоками в режиме гиперпоточности. Пиковая производительность составляет 182 ТФлопс.
- Профилирование реализованных алгоритмов проводилось с использованием двух инструментов - **Intel Trace Analyzer and Collector (ITAC)**;
- Значения эффективности ускорения параллельных реализаций были получены при помощи инструмента **Intel VTune Profiler**.

РАСПАРАЛЛЕЛИВАНИЕ MPI



- 300³ узлов.
- ~ 1000 шагов по времени.
- Толщина PML 10 узлов.

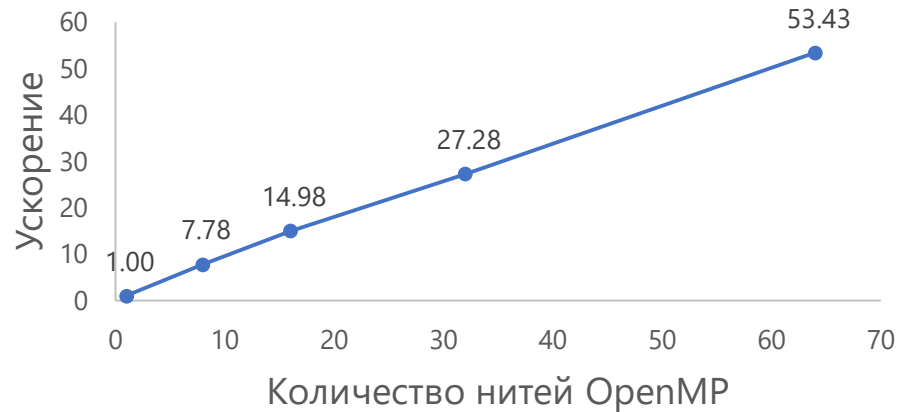
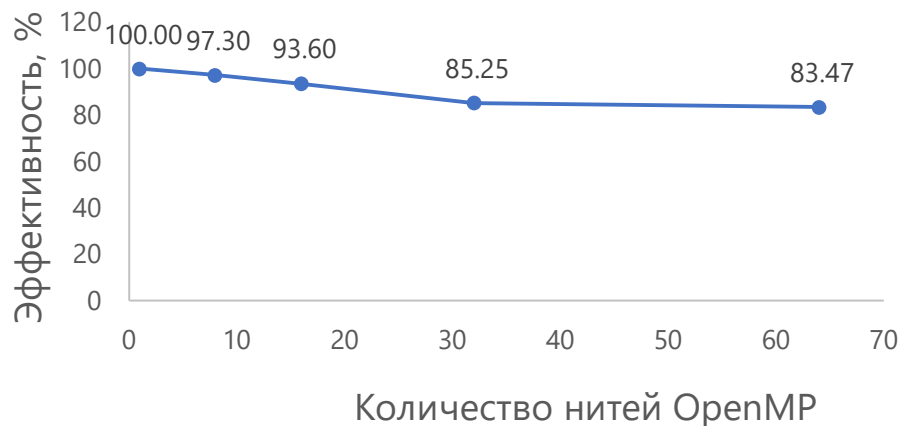
Эффективность (слева) и сильная масштабируемость (справа) параллельной реализации в среде MPI



- ~ 216 тыс. узлов на один MPI процесс.

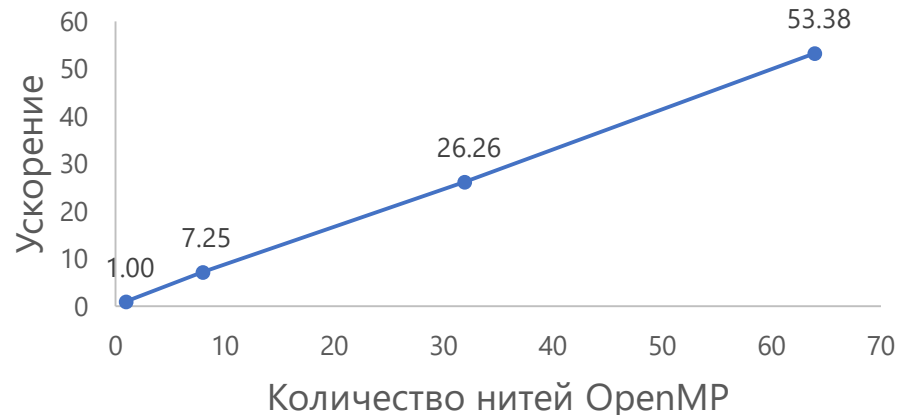
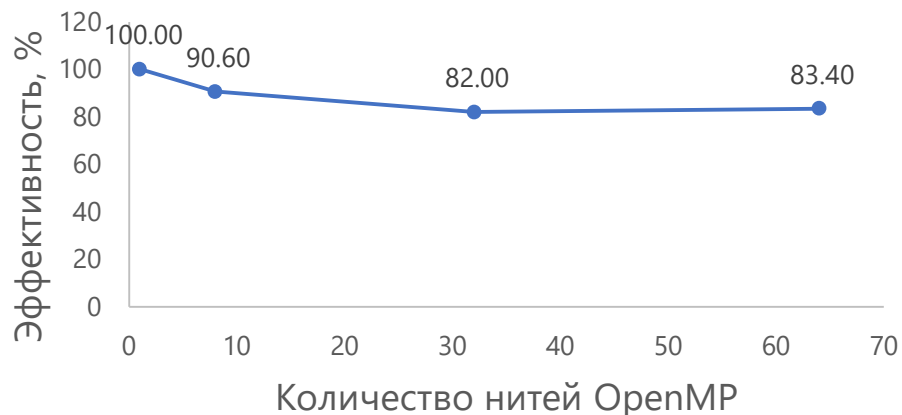
Эффективность (слева) и слабая масштабируемость (справа) параллельной реализации в среде MPI

РАСПАРАЛЛЕЛИВАНИЕ OPENMP



- 240³ узлов.
- ~ 1000 шагов по времени.
- Толщина PML 10 узлов.

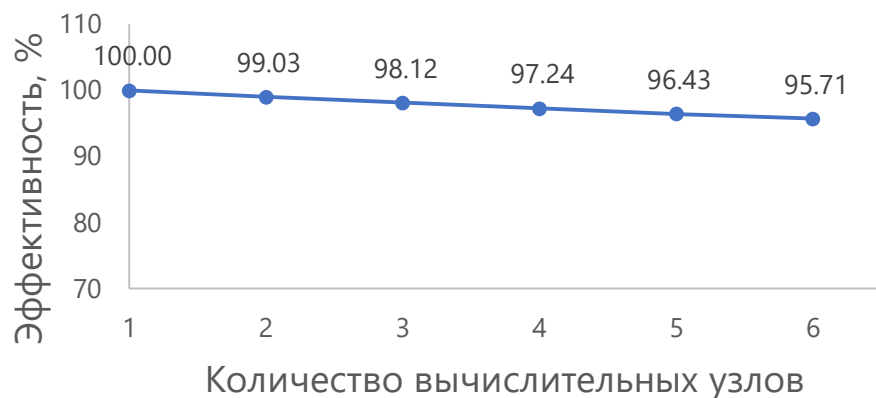
Эффективность (слева) и сильная масштабируемость (справа) параллельной реализации для систем с общей памятью



- ~ 216 тыс. узлов на один OpenMP-поток.

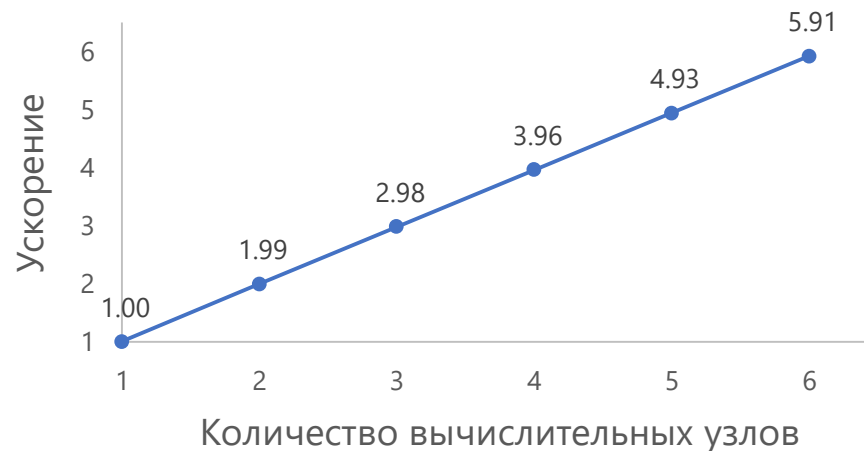
Эффективность (слева) и слабая масштабируемость (справа) параллельной реализации для систем с общей памятью

РАСПАРАЛЛЕЛИВАНИЕ MRI+OPENMP



- **220³ узлов.**
- **~ 1000 шагов по времени.**
- **Толщина PML 10 узлов.**

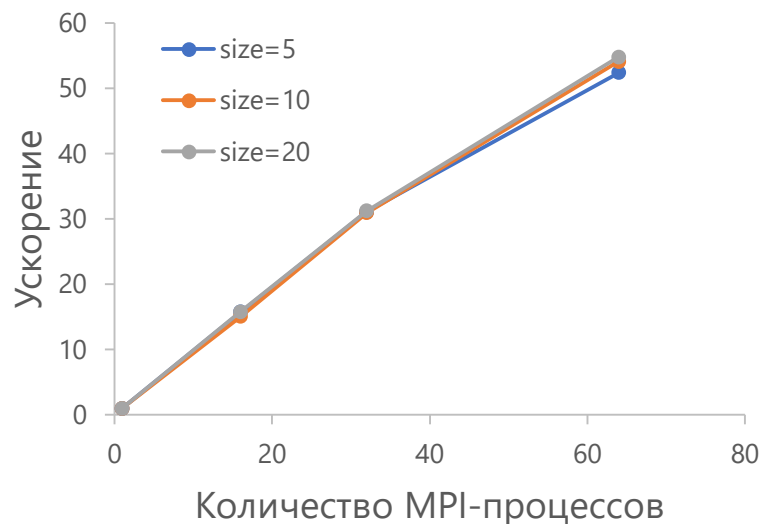
Эффективность (слева) и сильная масштабируемость (справа) параллельной реализации для систем с распределенной памятью



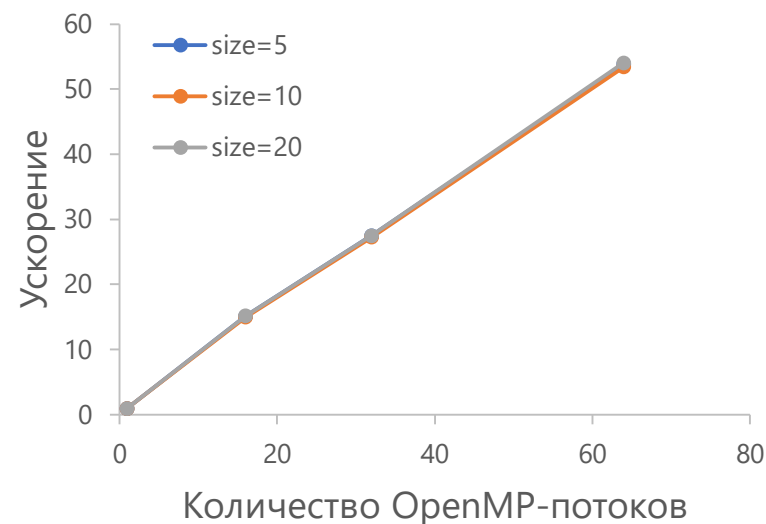
- **~ 10,65 млн. узлов на один вычислительный узел.**

Эффективность (слева) и слабая масштабируемость (справа) параллельной реализации для систем с распределенной памятью

ВЛИЯНИЕ ТОЛЩИНЫ PML-ОБЛАСТИ



Зависимость ускорения параллельной реализации для систем с **распределенной памятью** от толщины PML-области



Зависимость ускорения параллельной реализации для систем с **общей памятью** от толщины PML-области

- 200³ узлов без учета PML.
- ~ 1000 шагов по времени.

ЗАКЛЮЧЕНИЕ/ВЫВОДЫ



- **Реализованы** три алгоритма распараллеливания с использованием **технологии MPI** для систем с распределенной памятью, **технологии OpenMP** для систем с общей памятью и алгоритм с **совместным использованием технологий MPI и OpenMP**;
- Приведены графики **эффективности распараллеливания, слабой и сильной масштабируемости** реализованных алгоритмов;
- Для предложенных алгоритмов получена **эффективность распараллеливания 84%** на одном вычислительном узле **относительно времени работы последовательной версии программы**.
- Достигнута **эффективность распараллеливания 98%**, при масштабировании параллельного гибридного алгоритма **до 6 двухпроцессорных вычислительных узлов**.
- Для предложенных алгоритмов **показана слабая зависимость ускорения от количества узлов** в PML-области.



РОСНЕФТЬ

СПАСИБО ЗА ВНИМАНИЕ!



РОСНЕФТЬ

ООО «РН-БашНИПИнефть»

По всем возникающим вопросам просьба обращаться к
Саидбатову Дмитрию Руслановичу

по адресу электронной почты: DRSaidbatalov@bnipi.rosneft.ru